

Primer Oligodendrosit Kütüründe Metamfetamine Bağlı Hücre Ölümü

CELL DEATH DUE TO METHAMPHETAMINE IN PRIMARY OLIGODENDROCYTE CULTURE

Kürşad GENÇ*, Şermin GENÇ**, Ülker SÖNMEZ***, Osman YILMAZ****, Ataç SÖNMEZ*, Kazım TUĞYAN***, Bekir ERGÜR***, Zişan BULDAN***

Dokuz Eylül Üniversitesi Tıp Fakültesi Fizyoloji Anabilim Dalı*

Dokuz Eylül Üniversitesi Tıp Fakültesi Tıbbi Biyoloji ve Genetik Anabilim Dalı**

Dokuz Eylül Üniversitesi Tıp Fakültesi Histoloji-Embriyoloji Anabilim Dalı***

Dokuz Eylül Üniversitesi Tıp Fakültesi Multidisipliner Laboratuvarları****

ÖZET

Amaç: Psikostimülör bir ilaç olan metamfetaminin nörotoksik etkisi in vitro ve in vivo çalışmalarla kanıtlanmıştır. Bu çalışmada ise metamfetaminin yenidoğan Wistar sıçan oligodendrosit kültürlerinde sitotoksik etkisi araştırıldı.

Gereç ve Yöntem: Metamfetaminin sitotoksik etkisi laktat dehidrogenaz (LDH) testiyle, apoptoz indukleyici etkisi ise apostain immunfluoresan boyama yöntemiyle araştırıldı. Bu amaçla kültürler değişen konsantrasyonlarda ($10\text{--}1000 \mu\text{M}$ arası) ve değişik enkübasyon sürelerinde (24-96 saat arası) metamfetamine maruz bırakıldı.

Bulgular: LDH ölçümleri metamfetaminin doza ve zamana bağlı olarak oligodendrosit ölümüne yol açtığını göstermektedir. Apostain yöntemi ise metamfetaminin düşük ($10 \mu\text{M}$) ve yüksek ($1000 \mu\text{M}$) dozlarda daha belirgin apoptoza neden olduğunu işaret etmektedir.

Sonuç: Bu sonuçlar kronik metamfetamin kullancılarında gözlenen nörotoksik etkilerin kısmen bu maddenin oligodendrositler üzerine toksik etkisine de bağlı olabileceğini düşündürmektedir.

Anahtar sözcükler : Metamfetamin, oligodendrosit, apoptoz, sıçan, apostain.

SUMMARY

Objective: The neurotoxic effect of methamphetamine which is a psychostimulant drug has been established by in vitro and in vivo studies. In this study, the cytotoxic effect of methamphetamine on oligodendrocytes has been investigated.

Material and Method: The cytotoxic effect of methamphetamine was determined by lactate dehydrogenase (LDH) test in neonatal Wistar rat oligodendrocyte cultures. The apoptosis inducing effect of methamphetamine was evaluated by apostain immunofluorescence staining method. For this purpose cultures have been exposed to the various concentrations of methamphetamine ($10\text{--}1000 \mu\text{M}$) with various incubation time (24-96 hours).

Results: LDH measures show that methamphetamine leads dose and time-dependent oligodendrocyte death. Apostain method points that methamphetamine results in apoptotic oligodendrocyte death especially at low ($10 \mu\text{M}$) and high ($1000 \mu\text{M}$) doses.

Conclusions: These results suggest that neurotoxic effects that are observed in chronic methamphetamine users may be partly due to the toxic effect of methamphetamine on oligodendrocyte.

Key words: Metamphetamine, oligodendrocyte, apoptosis, rat, apostain

Kürşad GENÇ

Dokuz Eylül Üniversitesi

Tıp Fakültesi

Fizyoloji Anabilim Dalı

Inçiraltı, 35340, İzmir

Tel : 232-2595959/4475

e-mail: sermingenc@hotmail.com

Metamfetamin, kötü amaçlı kullanımını tüm dünyada giderek artan bir yaygınta görülen psikostimulan bir ilaçtır (1). Kronik metamfetamin kullanımı kardiyotoksik ve nörotoksik komplikasyonlar doğurmaktadır (1). Ayrıca doğum öncesi dönemde metamfetamine maruz kalan fetüslerde sinir sistemini de içine alan teratojenik etkiler gözlenmektedir (2-4). Bugüne kadar yapılan *in vivo* ve *in vitro* deneyel çalışmaların sonuçları metamfetaminin nöronlar üzerine toksik etki gösterdiğini ve apoptotik nöron ölümüne yol açtığını göstermiştir (1,5-8). Kronik metamfetamin kullanımı sırasında yapılan fonksiyonel görüntüleme incelemeleri bu maddenin beyaz cevher hasarına da yol açtığını düşündürmektedir (9). Bu nedenle metamfetamin nöronlar yanısıra oligodendroglial hücreler üzerinde de sitotoksik etki gösteriyor olabilir. Fakat bu maddenin oligodendroglial hücreler üzerine *in vitro* toksik etkisinin bulunup bulunmadığını araştıran bir çalışma henüz yayınlanmamıştır.

Bu çalışmada metamfetaminin yenidoğan Wistar sincan oligodendrosit kültürlerinde sitotoksik etkisinin bulunup bulunmadığının ve apoptotik oligodendrosit ölümüne yol açıp açmadığının araştırılması amaçlanmıştır. Bu amaçla değişik konsantrasyonlarda metamfetamin ile değişik sürelerde enkübe edilen oligodendrosit kültürlerinde sitotoksitesi laktat dehidrogenaz (LDH) testiyle, apoptotik hücre ölümü ise apostain immünfloresan boyama yöntemiyle araştırılmıştır.

GEREÇ ve YÖNTEM

Bu çalışmada Wistar suyu yenidoğan sincanlar kullanıldı. Çalışma için Dokuz Eylül Üniversitesi Tip Fakültesi Etik Komitesinden etik kurul onayı alındı. Yenidoğan sincan yavrularının beyinleri steril koşullarda çıkarıldıkten sonra mekanik olarak ayrıstırıldı ve penisilin, streptomisin ve %10 oranında fetal sığır serumu içeren DMEM/F12 (Biochrom KG) kültür ortamında hücre süspansiyonu hazırlandı. Hücre süspansyonları mikst glial hücre kültürleri olarak 75 cm^2 lik kültür flaklarına 3 beyin/flask yoğunlukta ekildi ve karbon-dioksid enkübatöründe enkübe edildi. Kültürlerin ortamı iki günde bir taze ortam ile değiştirildi. Ekim işleminden 7-9 gün sonra mikst glial kültürlerden shaking aderans yöntemi ile oligodendroglial hücreler

izole edildi (10). Bu amaçla kültür kaplarına shaking işlemi 100 rpm hızda ve 24 saat süreyle uygulanarak mikroglial ve oligodendroglial hücrelerin kültür kaplarından ayrılmaları sağlandı. Mikroglial hücreleri uzaklaştırmak amacıyla da yüzey duruma geçen bu hücreler yeni kültür kaplarına ekilecek 15 dakika aderans işlemi uygulandı. Bu sürenin sonunda kültür kabına henüz yapışmayan oligodendroglial hücreler toplanarak polilizin (Sigma) ile kaplanmış yeni kültür kaplarına 5×10^4 hücre/ cm^2 yoğunlukta ekildi. LDH testi için 24 ya da 96 kuyucuklu, apostain yöntemi için ise 6 kuyucuklu kültür plakları kullanıldı. Galaktoserebrozid C immünfloresan boyaması için hücreler 35 mm^2 lik petri kaplarının içine konulan lamellere ekildi. Ekimin ertesi günü oligodendrosit kültürlerinin ortamı serumsuz ve %1 oranında insülin-selenit-transferrin içeren kültür ortamıyla değiştirildi ve kültürlerde 0-1000 μM arasında değişen konsantrasyonlarda stok metamfetamin (Sigma) solüsyonu (100 mM) eklendi. 24-96 saat arasında değişen enkübasyon sürelerinin sonunda sitotoksitesi LDH testiyle, apoptotik hücre ölümü ise apostain immünfloresan boyama yöntemiyle araştırıldı. Oligodendrosit kültürlerinin saflığının belirlenmesi amacıyla lamellere ekilen hücrelerde galaktoserebrozid C'ye yönelik monoklonal antikorla immünfloresan boyama yapıldı.

LDH testi için Cytotoxicity Detection Kit (Roche) kullanıldı ve en az üçlü eş kültür örnekleri çalışıldı. LDH testinde kontrol olarak metamfetaminin eklenmediği kültür koşulları (kuyucuklar) kullanıldı. Maksimal LDH salınınının belirlenmesi için ise metamfetamin ile aynı zamanda ve yalnızca %1'lik TritonX-100 deterjan maddesi eklenen kuyucuklar kullanıldı. Değişik enkübasyon sürelerinin ardından her kuyucuktan $50\text{ }\mu\text{l}$ süpernatant örneği alınarak ELISA plaqına aktarıldı. Her bir kuyucuga $50\text{ }\mu\text{l}$ hacimde ve taze hazırlanan LDH reaksiyon karışımı eklendi. ELISA plak okuyucusuna yerleştirilen plaktan 492 nm dalga boyunda okutma yapıldı. Referans dalga boyu olarak 620 nm seçildi. Her bir kuyucuga ait absorbans değerinden ortalama zemin absorbans değeri çıkartılarak net absorbans değerleri elde edildi. Zemin absorbans değeri yalnız kültür ortamının $100\text{ }\mu\text{l}$ ha-

cimde eklendiği ve LDH reaksiyon karışımı eklenmeyen kuyucuklardan okutulan absorbans değerlerinin ortalamasıdır. Her bir kültür koşulu için hücre ölümü yüzdesi aşağıdaki formül kullanılarak hesaplandı: (Bulunan absorbans değeri - Kontrol absorbans değeri) x 100 / (Maksimal absorbans değeri - Kontrol absorbans değeri). Kontrol absorbans değeri herhangi bir toksik ajan, koruyucu ajan ya da TritonX-100 eklentimeden kültür koşullarından elde edilen absorbans değerlerinin aritmetik ortalamasıdır ve bu hücrelerden enkubasyon süresi içerisinde spontan LDH salınınının ölçüsüdür. Maksimal absorbans değeri yalnızca TritonX-100 eklenen kültür koşullarından elde edilen absorbans değerlerinin aritmetik ortalamasıdır ve bu hücrelerden enkubasyon süresi içerisinde maksimal LDH salınınının ölçüsüdür (11).

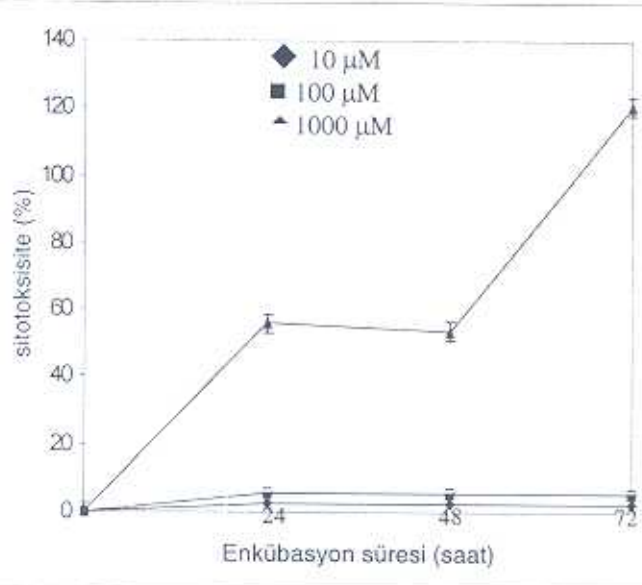
Apoptotik hücre ölümünü saptamak için kullanılan apoptin yönteminin ilkesi apoptotik hücrelerdeki DNA'nın ısıyla denatürasyona duyarlılığının artmış olmasını dayanmaktadır. Bu yöntemde DNA, formamidin varlığında ısıyla denature edilmekte ve single strand DNA'ya spesifik antikorla boyanmaktadır (12). Bu amaçla hücreler kültür kabindan tripsin/EDTA solusyonuyla kaldırılarak santrifüj edildi ve PBS ile resuspende edildikten sonra soğuk metanol içinde 16 saat bekletilerek fiks edildi. Fiksasyon sonrası hücre suspansiyonları santrifüj edildi ve supernatant uzaklaştırıldılarak pellet, 0.25 ml hacimde ve distile su ile sulandırılan % 50'lük formamid (Sigma) ile resuspende edildi. Örnekler daha sonra 75° sıcaklıkta getirilmiş su banyosunda 10 dk tutuldu. Hücre suspansiyonlarına 2 ml %3'lük ve yağ içermeyen, distile su ile çözülmüş ve PBS ile sulandırılmış süt tozu (Nestle) eklendi. Örnekler enkubasyon süresinin sonunda tekrar santrifüj edildikten sonra supernatant uzaklaştırıldı ve pellet 100 µl/ örnek hacimde F7-26 antikoruya (Alexis Biochemicals) resuspende edildi. Antikor solusyonu hazırlamak için 1 ml hacimde 100 µg F7-26 antikoruna PBS ile sulandırılmış %1'lük süt tozu suspansiyonundan 9 ml eklendi. Örnekler antikor solusyonuyla oda sıcaklığında 15 dk enkübe edildi. Enkubasyon süresinin sonunda örnekler 1 ml PBS eklendi. Santrifüj aşamasından sonra supernatant

uzaklaştırıldı. Pellet 100 µl/ örnek hacimde FITC-konjugeli keçi-anti-fare sekonder antikoruya (Caltag) resuspende edildi. Sekonder antikor ile oda sıcaklığında 15 enkubasyon işleminin ardından örnekler 1 ml PBS eklendi. Santrifüj aşamasından sonra pellet tekrar PBS ile resuspende edildi. Floresan mikroskobi incelemesi için boyanmış hücre suspansiyonları lamaya üzerine yayıldı. Lamaların üzerine DAPI-antifade eklendi ve lame kapatıldı. Floresan mikroskobi incelemesinde FITC florokromu için yeşil FITC filtresi, DAPI için ise UV filtresi kullanıldı. Her lamda 5 ayrı alanda, 100 hücre sayilarak apoptin pozitif boyanan hücrelerin oranı saptandı.

Bu çalışmada elde edilen verilerin istatistik analizi için SPSS programı (version 8.0) kullanıldı. İstatistik analizde sitotoksitesi oranı ve apoptin pozitif boyanan hücre sayıları değerlendirilecek parametreler olarak seçildi. Grupların ortalama değerleri Student t testiyle karşılaştırıldı. 0.05'den küçük p değerleri anamli kabul edildi. Sonuçlar aritmetik ortalama ± standart hata biçiminde gösterilmiştir. In vitro deneyler aynı koşullarda bağımsız olarak en az üç kez tekrarlanmış ve her deneyde en az üç eşli örnek çalışılmıştır.

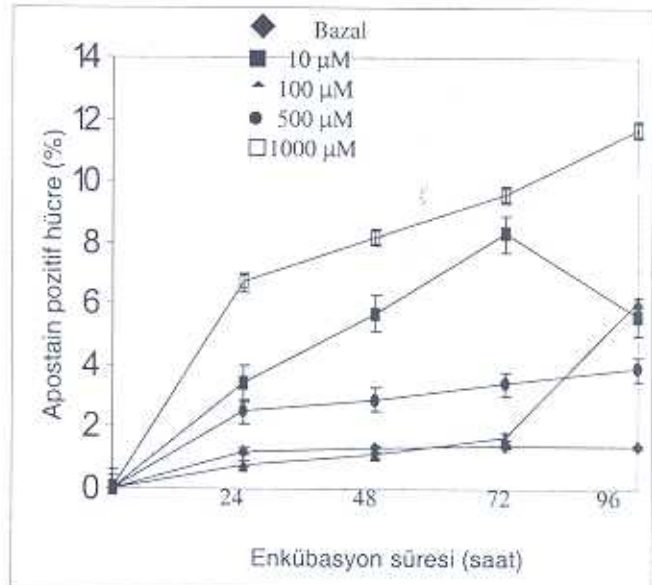
BULGULAR

Bu çalışmada kullanılan oligodendrosit kültürlerinin saflığı anti-Galaktoserebrozid C immünfloresan boyamasıyla araştırıldı ve kültürlerin saflığının %95'in altında olmadığı saptandı. LDH testinin sonuçları metamfetaminin 10 ve 100 µM konsantrasyonlarının 24-72 saat arasındaki enkubasyon sürelerinde belirgin bir sitotoksik etkiye yol açmadığını göstermektedir (Şekil 1). 1000 µM konsantrasyonda metamfetamin ise 24 saatte başlayan belirgin bir sitotoksik etkiye neden olmaktadır (ortalama % 55.8 ± 2.8), 48 saatlik ortalamaya sitotoksitesi değeri (ortalama % 53.5 ± 3.1) 24 saatlik sitotoksik etkiye belirgin bir fark göstermediği halde ($p=0.47$), 72 saatlik enkubasyon süresi sonunda sitotoksitesinin (ortalama % 120.7 ± 11.5) 24 ve 48 saat değerlerine göre anamli olarak artış gösterdiği saptandı ($p = 0.001$). Bu sonuçlar metamfetaminin bu hücre kültür sisteminde oligodendroglial hücreler üzerine doza ve zamana bağımlı sitotoksik bir etkisi olduğunu göstermektedir.

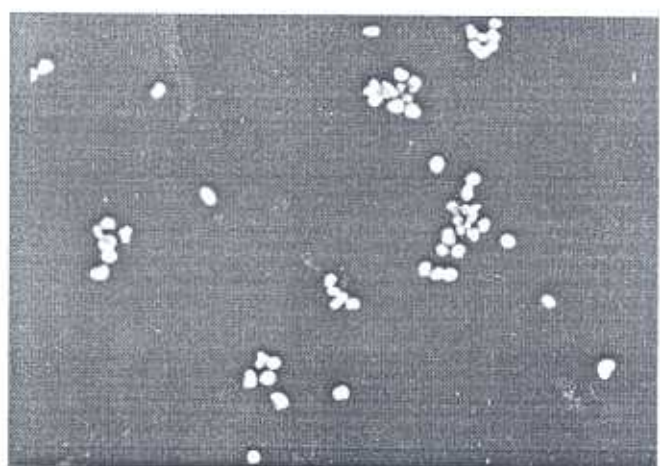


Şekil 1. Metamfetaminin oligodendrosit kültürlerinde sitotoksitesi etkisi

Apostain boyama yönteminin sonuçları metamfetaminin fare oligodendrosit kültürlerinde doza bağımlı bir apoptoz indukleyici etkisinin olduğunu göstermektedir (Şekil 2-4). Metamfetamin eklenmeyen oligodendrosit kültürlerinde %2'yi aşmayan bir apoptoz oranı saptanmışken (48. ve 96. saatte 1.4 ± 0.1) (Şekil 3) bu oran 1000 μM konsantrasyonda metamfetaminin eklenen kültürlerde %10'u bulmaktadır (48. saatte 9.6 ± 0.4 , 96. saatte 11.7 ± 0.2) (Şekil 4). Apostain boyama sonuçları 48. saatte metamfetamin dozuna bağlı bifazik bir apoptotik hücre ölümünü göstermektedir. Düşük ($10 \mu\text{M}$) ve yüksek metamfetamin dozları ($1000 \mu\text{M}$) basal değerlerle karşılaştırıldığında (sırasıyla 8.3 ± 0.1 ve 9.6 ± 0.4) apoptotik hücre ölümünü anlamlı olarak induklamaktadır ($p = 0.001$). 96. saatte bu etki $100 \mu\text{M}$ ve $1000 \mu\text{M}$ dozlarında ortaya çıkmaktadır (sırasıyla 6.1 ± 0.8 ve 11.7 ± 0.2) ve bu değerler ortalama basal değere (1.4 ± 0.1) göre anlamlı olarak yüksektir (sırasıyla $p=0.008$ ve 0.001).



Şekil 2. Metamfetaminin oligodendrosit kültürlerinde apoptotik hücre ölümünü indukleyici etkisi



Şekil 3. Apostain boyama sonuçlarının göre metamfetamin eklenmeyen oligodendrosit kültüründe basal apoptotik hücre ölümü oranı çok düşüktür (20 X).



Şekil 4. 96 saat süreyle 1000 μM konsantrasyonda metamfetamin ile enkübe edilen bu kültürde apoptozin pozitif boyanan hücreler parlak görünümekteidir (20 X).

TARTIŞMA

Bu çalışmada metamfetaminin yenidoğan sıçan oligodendrosit kültürlerinde doza ve zamana bağımlı sitotoksik ve apoptotik hücre ölümüne yol açtığı ilk kez gösterilmiştir. Çalışmada anti-galaktoserebrozid C boyamasıyla gösterildiği gibi primer oligodendrosit kültürlerinin saflığı deneysel süresince %95'den aşağı düşmemiştir. Primer oligodendrosit kültürlerinin saflığı içerebilecekleri diğer glial hücrelerin sitotoksisite ve koruyuculuk deneyselinin sonuçlarını etkileyebilmesi açısından önemlidir (13). Kullanılan toksik ajamın oligodendrosit kültürlerine karışmış olabilen astrogial ve mikroglial hücrelerin üretikleri nitrik oksid gibi toksik ya da trosik faktörler gibi koruyucu maddelerin üretimini uyarabilme ya da baskılatabilme olasılığı bulunmaktadır. Deneyserde kullanılan kültürlerde bu tür kontaminasyon kaynağı hücrelerin varlığı deneyserde test edilen toksik ajamın oligodendrositler üzerine sitotoksik etkisini artırıcı ya da azaltıcı yönde de etki gösterebilir. Bu durum da *in vitro* bulgularda artefaktı gündeme getirecektir. Fakat bu çalışmada oligodendrosit kültürlerinin saflik oranının yüksek olması ile bu olasılıklar dışlanmıştır.

Oligodendroglial hücre topluluğu farklı gelişim evrelerinde bulunan (pre-oligodendrosit, immatür ve matür oligodendrosit) hücreleri içermesi açısından yine

de heterojenlik gösterebilmektedir (10). Bu çalışmada matür oligodendrosit marker'ı olan anti-miyelin basic protein antikoru, pre-oligodendrosit marker'ları olan anti-O4 ve öncü hücre marker'ı olan anti-A2B5 antikorları kullanılmıştır. Kullanılan tek spesifik oligodendrosit marker'ı olan galaktoserebrozid C, pre-oligodendrosit ile immatür oligodendrosit geçiş aşamasında hücre yüzeyinde eksprese edilmeye başlanmaktadır ve eksprezyonu matürasyon boyunca sürmektedir (10). Bu nedenle bu marker oligodendrosit gelişim evrelerinden tek birine özgü değildir. Ancak kültürlerin faz kontrast mikroskop altında izlenmesi sırasında oligodendroglial hücrelerin morfolojik olarak uzantı sayılarına göre değerlendirildiğinde immatür oligodendrosit aşamalarına uydugu saptanmıştır. Değişik deneyserde kültürlerde galaktoserebrozid C pozitif boyanan hücre sayısının %95'den az olmaması da pre-oligodendrosit oranının düşük olduğunu düşündürmektedir. Çok sayıda uzantısı ve miyelin membran yapısı gösteren matür oligodendrosit morfolojisine uygun hücre sayısı ve bipolar uzantılı pre-oligodendrosit sayısı her kültürde birkaç hücreden fazla olmamıştır. Hücreler 3-4'ten fazla uzantıları olmaları özellikle immatür oligodendrosit aşamasındaki hücrelere uymaktadır (10). Primer oligodendrosit kültürlerinde hücrelerin büyük bir bölümünün aynı gelişim evresinde bulunması farklı gelişim evrelerindeki oligodendrositlerin hasara karşı yanıtları farklı olabileceği için aranan bir özelliktir. İmmatür ve matür oligodendrositlerin hipoksı, iskemi ve sitokinlerle induklenen hasar modellerine karşı yanıtlarının ve duyarlılıklarının farklı olduğu daha önceki çalışmalarla gösterilmiştir (14). Benzer biçimde değişik gelişim aşamalarındaki oligodendroglial hücrelerin metamfetamin ile oluşturulan hasara karşı duyarlılıkları da farklı olabilir. Fakat bu henüz araştırılmamış bir konudur. Bu çalışmada metamfetaminin oligodendrosit öncüsü hücreler ya da farklılaşmış matür oligodendrositler üzerine etki araştırılmıştır. Bu tür deneysel ayrı ayrı homojen immatür ya da homojen matür oligodendrosit kültürlerinde yapılmalı ya da değişik gelişim aşamalarında oligodendroglial hücreler içeren mikst oligodendrosit kültürlerinde gelişim evrelerine özgül marker'ların da kullanılacağı deneysel planlanmalıdır.

Apoptozun gösterilmesinde apoptain yönteminin kullanılması spesifik olarak yalnızca apoptotik hücrelerin boyanmasını sağlamaktır ve apoptozu nekrozdan kesin olarak ayırmaktadır. Yöntemin DNA kırıklarından bağımsız olması önemlidir, çünkü çift sarmal DNA kırıklarını şaptayan TdT-mediated dUTP nick end labeling (TUNEL) gibi yöntemler apoptoz için spesifik değildir (12,15,16).

Sıçan oligodendrosit kültürlerinde yapılan bu çalışmanın insan oligodendrosit kültürlerinde de tekrarlanması uygun olacaktır. Çünkü kemirgen ve insan oligodendrositleri arasında toksik ajanlara yanıt açısından farklılıklar bulunabilir (14). Ayrıca hücre kültürü çalışmalarında elde edilen sonuçlar in vivo çalışmaların tasarlanması açısından önemliyse de in vivo duruma özgü çok daha kompleks hücreler arası etkileşimler in vitro deney sonuçlarından daha farklı sonuçlara varılmasına yol açabilir. Örneğin metamfetaminin in vivo reaksiif astrogliozise yol açtığı için (17) oligodendroglial hücreler üzerine olası toksik etkisi astroglial hücreler tarafından tamponlanıyor olabilir. Bu nedenle bu in vitro deney sonuçlarının in vivo çalışma sonuçlarıyla da doğrulanması önemlidir.

Bu çalışmanın sonuçları metamfetaminin doza bağımlı bir biçimde oligodendroglial hücrelerde hem nekrotik, hem de apoptotik hücre ölümüne yol açtığını düşündürmektedir. Fakat bu etkinin hücresel mekanizmaları henüz bilinmemektedir. Nöronal hücrelerde yapılan çalışmalar metamfetaminin reaksiif oksijen ve nitrojen ürünlerinin üretimini artırma, glutamat eksütotoksitesini iletmetme, apoptotik hücre ölümü sürecinde anti-apoptotik protein ekspresyonunu azaltma ve pro-apoptotik protein ekspresyonunu artırma, mitokondrial hasar ve dopamin otooksidasyonu, nöroimmün mekanizmaları tetikleme gibi çok değişik mekanizmalarla hücre ölümüne yol açabildiğini düşünürmektedir (1,6,8,18-20). Benzeri mekanizmaların oligodendrosit hasarında oynadığı rolü aydınlatmak için daha ileri çalışmalar gereklidir.

Metamfetaminin nöronal hasar yanı sıra bu çalışmanın gösterdiği oligodendrogliotoksik etkisi in vivo çalışmalarla da desteklenirse bu durumun klinik açıdan

bazı önemli sonuçları olabilir. Bu durumda metamfetamin toksitesini önlemeye yönelik tedavi araştırmalarında nöronal hasar yanı sıra oligodendrosit hasarını ve beyaz cevher hasarını da önlemeyi hedef alan tedavi yaklaşımları daha etkin sonuçların alınmasını sağlayabilir.

KAYNAKLAR

- Davidson C, Gow AJ, Lee TH, et al. Methamphetamine neurotoxicity: necrotic and apoptotic mechanisms and relevance to human abuse and treatment. *Brain Res Brain Res Rev* 2001;36:1-22.
- Zimmerman EF. Substance abuse in pregnancy: teratogenesis. *Pediatr Ann* 1991;20:541-544.
- Yamamoto Y, Yamamoto K, Abiru H, et al. Effects of methamphetamine on rat embryos cultured in vitro. *Biol Neonate* 1995;68:33-38.
- Cho DH, Lyu HM, Lee HB, et al. Behavioral teratogenicity of methamphetamine. *J Toxicol Sci* 1991;16:37-49.
- Choi HJ, Yoo TM, Chung SY, et al. Methamphetamine-induced apoptosis in a CNS-derived catecholaminergic cell line. *Mol Cells* 2002;13:221-227.
- Cadet JL, Ordonez SV, Ordonez JV. Methamphetamine induces apoptosis in immortalized neural cells: protection by the proto-oncogene, bcl-2. *Synapse* 1997;25:176-184.
- Deng X, Wang Y, Chou J, et al. Methamphetamine causes widespread apoptosis in the mouse brain: evidence from using an improved TUNEL histochemical method. *Brain Res Mol Brain Res* 2001;93:64-69.
- Deng X, Cai NS, McCoy MT, et al. Methamphetamine induces apoptosis in an immortalized rat striatal cell line by activating the mitochondrial cell death pathway. *Neuropharmacology* 2002;42:837-845.
- Ertuğ T, Chang L, Leonido-Yee M, et al. Evidence for long-term neurotoxicity associated with methamphetamine abuse: A ¹H MRS study. *Neurology* 2000;54:1344-1349.
- De Vellis J, Espinosa de los Monteros A. Oligodendrocytes. In "Practical Cell Culture Techniques" A. A. Boulton, G. B. Baker, W. Walz (eds.), p. 323-353. Humana Press, Totowa, New Jersey, 1992.
- Ying HS, Gottron PJ, Choi DW. Assessment of cell

- viability in primary neuronal cultures. *Current Protocols in Neuroscience* 2000;7:18.1-7.18.17.
12. Frankfurt OS. Detection of apoptosis in leukemic and breast cancer cells with monoclonal antibody to single-stranded DNA. *Cancer Res* 1994;54:1861-1869.
 13. Benn T, Halfpenny C, Scolding N. Glial cells as targets for cytotoxic immune mediators. *Glia* 2001;36:200-211.
 14. Casaccia-Bonelli P. Cell death in the oligodendrocyte lineage: a molecular perspective of life/death decisions in development and disease. *Glia* 2000;29:124-135.
 15. Chariaut-Marlangue C, Ben-Ari J. A cautionary note on the use of the TUNEL stain to determine apoptosis. *Neuroreport* 1995;7:61-64.
 16. Stadelmann C, Bruck W, Bancher C, et al. Alzheimer disease DNA fragmentation indicates increased neuronal vulnerability, but not apoptosis. *J Neuropathol Exp Neurol* 1998;57:456-464.
 17. Stadlin A, Lau JW, Szeto YK. A selective regional response of cultured astrocytes to methamphetamine. *Ann NY Acad Sci* 1998;844:108-121.
 18. Ladenheim B, Krasnova IN, Deng X, et al. Methamphetamine-induced neurotoxicity is attenuated in transgenic mice with a null mutation for interleukin-6. *Mol Pharmacol* 2000;58:1247-1256.
 19. Jayanthi S, Deng X, Bordelon M, et al. Methamphetamine causes differential regulation of pro-death and anti-death Bcl-2 genes in the mouse neocortex. *FASEB J* 2001;15:1745-1752.
 20. Thiriet N, Jayanthi S, McCoy M, et al. Methamphetamine increases expression of the apoptotic c-myc and L-myc genes in the mouse brain. *Brain Res Mol Brain Res* 2001;90:202-204.